

э л е к т р о н н ы й ж у р н а л

МОЛОДЕЖНЫЙ НАУЧНО-ТЕХНИЧЕСКИЙ ВЕСТНИК

Издатель ФГБОУ ВПО "МГТУ им. Н.Э. Баумана". Эл №. ФС77-51038.

УДК 53.05

Применение эффекта Пельтье для совмещения спектров излучения полупроводниковых лазеров с узкими линиями поглощения активных сред

А.А. Кусяев, студент
Россия, 105005, г. Москва, МГТУ им. Н.Э. Баумана,
кафедра «Технологии машиностроения»

А.В. Герасимов, студент
Россия, 105005, г. Москва, МГТУ им. Н.Э. Баумана,
кафедра «Технологии машиностроения»

Р.И. Калимуллин, студент
Россия, 105005, г. Москва, МГТУ им. Н.Э. Баумана,
кафедра «Плазменные энергетические установки»

Научный руководитель: Б.Г. Скуйбин, к.ф.-м.н., доцент
Россия, 105005, г. Москва, МГТУ им. Н.Э. Баумана,
кафедра «Физика»
Bauman@bmstu.ru

В настоящее время мы часто сталкиваемся с влиянием температуры на различные параметры электронных схем и различных датчиков. Как правило, нам приходится поддерживать температуру некоего элемента в определенном диапазоне и в определенной геометрической области. Порой, из-за нарушения теплового режима мы получаем искаженные данные с датчиков или даже выход из строя элемента схемы [1]. В нашей работе мы изменяем температуру лазера с помощью установки с ячейкой Пельтье, находящейся под управлением модульно-измерительной платформы PXI.

В основе нашей работы лежит эффект Пельтье – явление выделения или поглощения тепла при прохождении электрического тока в месте контакта (спая) двух разнородных проводников пропорционально прошедшему количеству электричества [2]. Схема термоэлектрического преобразователя представлена на рисунке 1. Эффект Пельтье можно описать следующей формулой:

<http://sntbul.bmstu.ru/doc/568847.html>

$$Q = q\Pi t,$$

где Q – количество выделившейся или поглощенной теплоты;

q – сила тока;

t – время протекания тока;

Π – коэффициент Пельтье.



Рис. 1. Схема действия эффекта Пельтье [2]

Для управления элементом Пельтье была собрана специальная установка, представленная на рисунке 2. Блок питания, два кулера и сама ячейка Пельтье были взяты со старых разобранных компьютеров и установлены в купленный корпус. Проведены меры по герметизации установки с целью терmostатирования ячейки. Установка подключена к модульно-измерительной платформе PXI, которая осуществляет управление температурой термоэлектрического преобразователя.

Установка может быть использована для проведения демонстрационных опытов по замораживанию капли воды, плавлению легкоплавкого припоя; для термостабилизации элементов схемы; для охлаждения ПЗС матриц с целью уменьшения шумов и многое другое. Мы используем ее для охлаждения полупроводникового лазера.



Рис. 2. Установка с ячейкой Пельтье [3]

На рисунке 3 изображена собранная нами лабораторная установка, которая предназначена для наблюдения смещения максимума спектра излучения полупроводниковых диодов при изменении их температуры, а также изучения спектров люминесценции. Установка имеет следующий состав:

- 1.Платформа PXI;
- 2.Блок с ячейкой Пельтье (см. рис.2);
- 3.Полупроводниковый лазер;
- 4.Спектрофотометр;
- 5.Оптоволоконный кабель;
- 6.Устройство вывода информации (монитор).

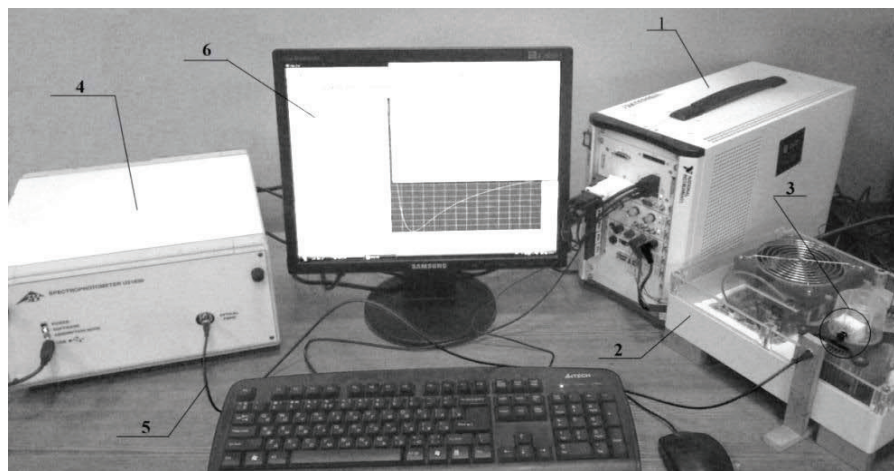


Рис. 3. Лабораторная установка

Нами были проведены опыты по охлаждению полупроводникового диода на основе AlGaAs/GaAs с длиной волны 650 нм. При изменении температуры от +15 °C до -5 °C мы наблюдали смещение максимума излучения на 6 нм в сторону уменьшения длины волны. Таким образом, температурный сдвиг спектральной линии данного лазера равен 0,3 нм/°C [3]. На рисунках 4, 5 изображено смещение максимума излучения на 3 нм при охлаждении от +5 °C до -5 °C.

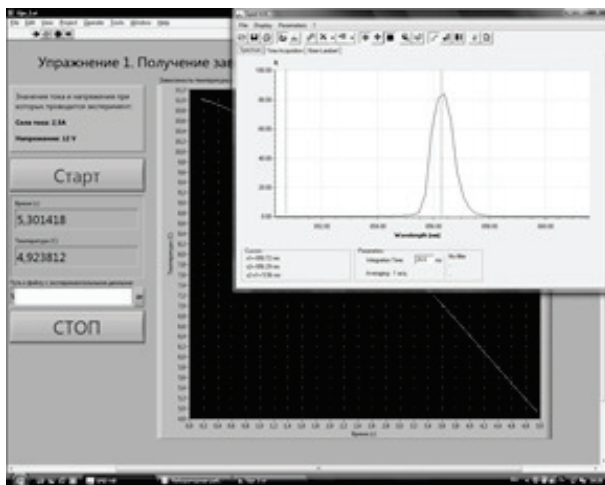


Рис. 4. Начальное положение максимума излучения лазера с $\lambda = 650$ нм [3]

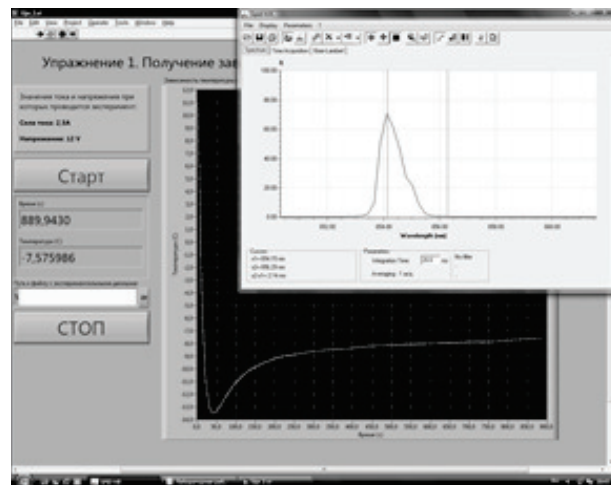


Рис. 5. Конечное положение максимума излучения лазера с $\lambda = 650$ нм [3]

Мы также провели подобные опыты с полупроводниковым лазером на основе гетероструктуры InGaAl/As с длиной волны 808 нм. Отличия от предыдущих экспериментов состоят лишь в том, что температура ячейки Пельтье регулировалась системой управления лазером Laser Diod Driver LDD-9 (рис.6). Система позволяет управлять температурой термоэлектрического преобразователя в пределах от +5 °С до +30 °С, поэтому мы проводили опыты по нагреванию лазера и наблюдали смещение максимума излучения в сторону увеличения длины волны.



Рис. 6. Лазер InGaAl/As и его система управления

При нагревании диода от +5 °С до +30 °С максимум излучения сместился на 5 нм. Изменение положения спектральной линии показано на рисунках 7, 8.

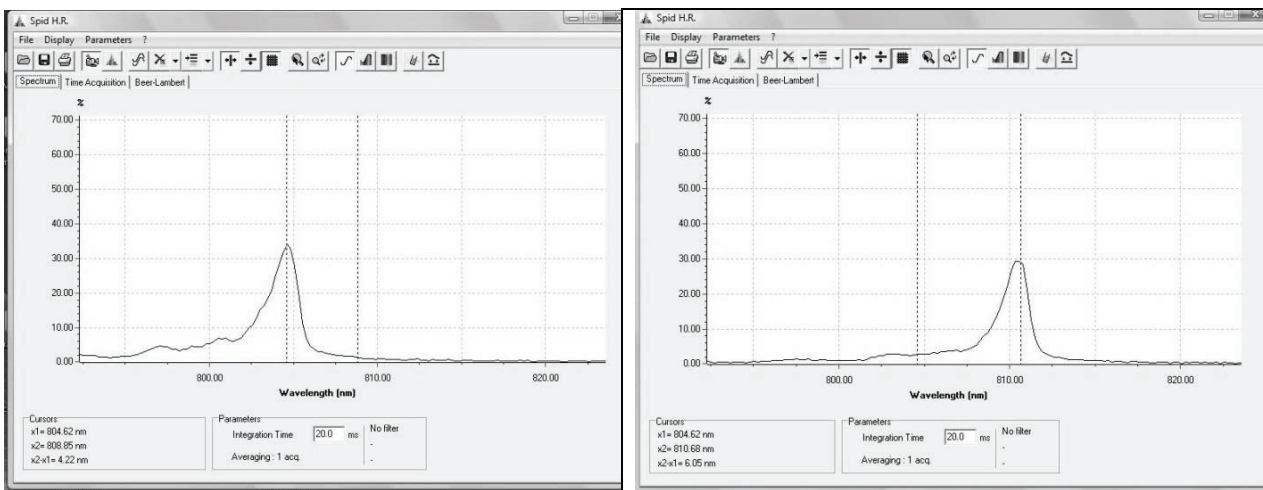


Рис. 7. Начальное положение максимума излучения лазера с $\lambda = 808$

Рис. 8. Конечное положение максимума излучения лазера с $\lambda = 808$

Результаты проведенных экспериментов позволили нам собрать установку по наблюдению зависимости выходных характеристик лазера на иттрий-алюминиевом гранате при сканировании линии накачки в области максимума линии поглощения YAG: Nd³⁺ – 0,808 мкм.

Синтетический иттрий-алюминиевый гранат (YAG: Nd³⁺) благодаря своим уникальным оптическим, механическим и тепловым свойствам является одним из наиболее распространенных материалов для твердотельных лазеров, применяется в электроакустике, а в последнее время используется в качестве подложки при наращивании тонких пленок и гетероструктур. Его оптические, электрические и колебательные свойства активно использовались в течение нескольких десятилетий [4]. Лазеры на YAG: Nd³⁺ получили широкое применение благодаря низкому порогу вещества и высокой теплопроводности активного элемента. Это позволяет получать генерацию при большой частоте повторения импульсов в непрерывном режиме. Длина волны излучения лазера равна 1,064 мкм [5].

Спектр поглощения YAG: Nd³⁺ представлен на рисунке 9. Максимум одной из спектральных линий приходится на 808,6 нм, что попадает в возможный для нас диапазон изменения длины волны излучения лазера с $\lambda = 808$ нм.

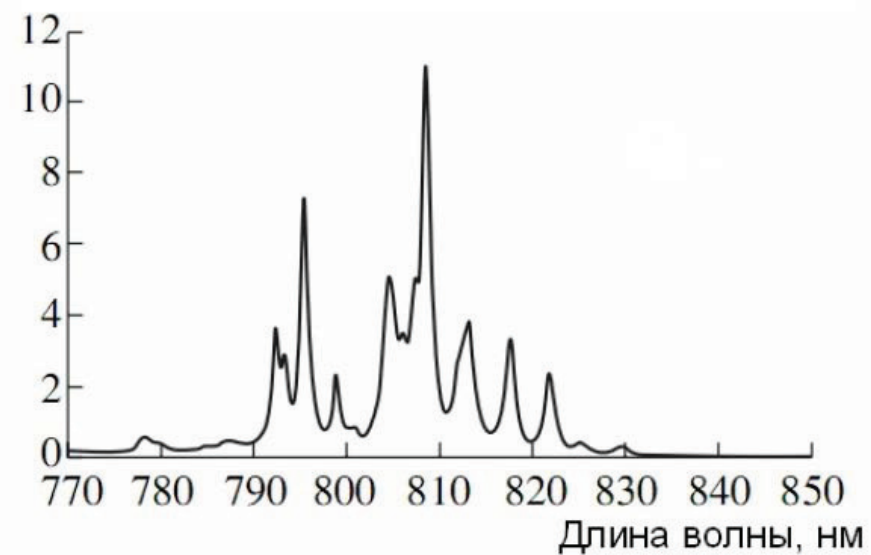


Рис. 9. Спектр поглощения YAG: Nd³⁺ [6]

Мы провели более точную серию экспериментов по нагреванию полупроводникового диода с $\lambda = 808$ нм. С шагом в 0,1 °C мы нагревали лазер от +5 до +30 °C и фиксировали длину волны максимума излучения. Затем провели опыт в обратном направлении (охлаждение от +30 до +5 °C с тем же шагом). Из полученной зависимости $\lambda(T)$, представленной на рисунке 10, мы определили, что температура данного полупроводникового лазера, при которой получаем наилучшее совпадение спектров излучения и поглощения, равна 19,3 °C. Схема перекрытия спектров изображена на рисунке 11. Ширина линии поглощения YAG: Nd³⁺ по полувысоте равна 2 нм, а линии излучения InGaAl/As – 3,3 нм, что свидетельствует о возможности проведения накачки.

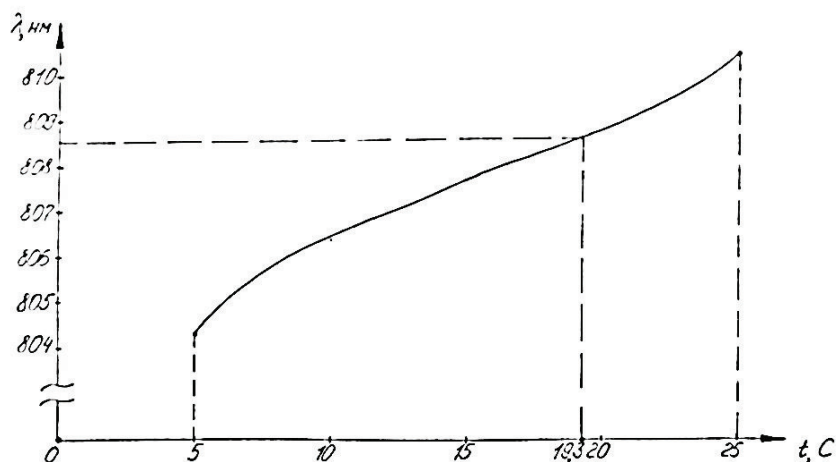


Рис. 10. Зависимость $\lambda(T)$ для лазера InGaAl/As

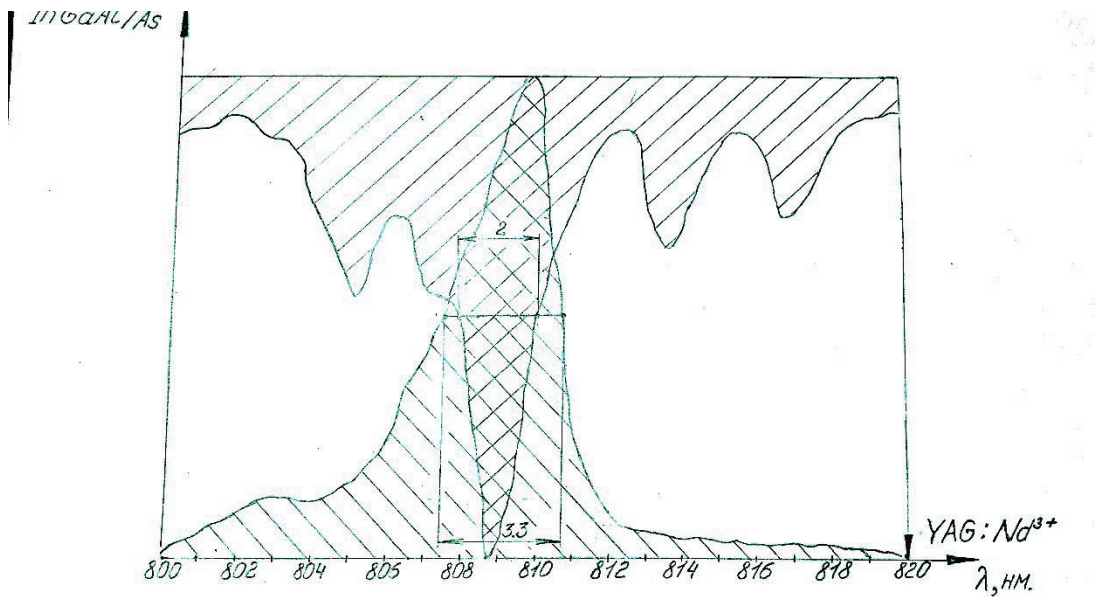


Рис. 11. Схема перекрытия спектров лазеров InGaAl/As и YAG: Nd³⁺

На основе проделанной работы возможно создание лабораторной установки для исследования люминесценции и зависимости $I(T)$ для полупроводниковых лазеров с помощью эффекта Пельтье. Она позволяет совмещать линии излучения лазеров с линией поглощения исследуемых материалов. Установка имеет простое управление и наглядное представление обработанных данных, что делает ее весьма актуальной в применении в лабораторном практикуме кафедры «Физики» МГТУ им. Н.Э. Баумана.

Список литературы

1. Матвеев А.Н. Электричество и магнетизм. М.: Высшая школа, 1983. 463 с.
2. Яворский Б.М., Детлаф А.А. Справочник по физике: для инженеров и студентов ВУЗов. М.: Наука, 1968. 417 с.
3. Герасимов А.В., Кусяев А.А. и др. Исследование зависимости длины волны от температуры для полупроводникового лазера в лабораторном практикуме // Инженерные, научные и образовательные приложения на базе технологий National Instruments – 2011. М., 2011. С. 382-384.
4. Powell R.C. Physics of solid state laser materials. N.Y.: AIP, 1998. 687 p.
5. Федоров Б.Ф. Лазеры. Основы устройства и применение. М.: ДОСААФ, 1988. 190 с.
6. Зверев Г.М., Голяев Ю.Д. и др. Лазеры на алюмоиттриевом гранате с неодимом. М.: Радио и связь, 1985. 144 с.